

تعیین مؤلفه‌های کشندهٔ ترکیبی و جز اضافی در محدودهٔ شرق سواحل ایرانی دریای مکران

سید مسعود محمودوف^{۱*}، محمد باقری^۲

۱- استادیار پژوهشگاه ملی اقیانوس‌شناسی و علوم جوی، پژوهشکدهٔ فناوری و مهندسی دریا، پست الکترونیکی:

m_mahmoudof@inio.ac.ir

۲- کارشناس ارشد مهندسی سازه‌های دریایی، سازمان بنادر و دریانوردی، اداره کل مهندسی سواحل و بنادر، پست الکترونیکی:

mbagheri@pmo.ir

تاریخ پذیرش: ۹۷/۹/۲۱

* نویسندهٔ مسؤول

تاریخ دریافت: ۹۷/۴/۰۲

ارایه شده در اولین همایش بین‌المللی اقیانوس‌شناسی غرب آسیا (۸ و ۹ آبان ماه ۱۳۹۶).

چکیده

در این مطالعه با استفاده از روش تحلیل Bispectral، مؤلفه‌های ترکیبی و اضافی حاصل از اندرکنش‌های غیرخطی سه‌تایی (triad) مؤلفه‌های اصلی کشندهٔ در محدودهٔ شرق سواحل ایرانی مکران مورد مطالعه و ارزیابی قرار گرفت. نتایج نشان داد که مهم‌ترین مؤلفه‌های ترکیبی در این منطقه KO2، KP2، MS4 و MN4 هستند. همچنین مؤلفه‌های جز اضافی M4 و S4 در این منطقه با استفاده از روش به کار گرفته شده قابل شناسایی هستند. برتری روش Bispectral در مقایسه با روش کمترین مربعات (تحلیل هارمونیک)، امکان شناسایی برخی مؤلفه‌های ترکیبی نظیر KO2 است که توسط روش کمترین مربعات هرگز قابل شناسایی نیست. با مقایسهٔ نتایج روش‌های تحلیل کمترین مربعات و فوریه، فرکانس همسازهای نظیر مؤلفه‌های اصلی کشنده تعیین شدند. در نهایت تحلیل با ۳ درجه آزادی ۳۲، ۶۴ و ۱۶ انجام گردید و مقادیر قابل توجه Bicoherence که در هر ۳ درجه آزادی تکرار شده و در محدودهٔ فرکانسی مؤلفه‌های اصلی کشنده بودند، به عنوان اندرکنش‌های قوی و مؤثر تعیین شدند.

کلمات کلیدی: کشندهٔ ترکیبی، کشندهٔ جز اضافی، اندرکنش غیرخطی، Bispectral، دریای مکران.

۱. مقدمه

مؤلفه‌های کشندهٔ بر اساس متغیری به نام دامنهٔ بالقوه کشنده^۱ الیت‌بندی می‌شوند. امواج کشندهٔ هم مانند سایر امواج در محدودهٔ آبهای کم عمق تحت اثر بستر قرار می‌گیرند. اما با توجه به طول موج بسیار بلند آن‌ها و شرط $(kd < 0.25)$ عدد موج و d عمق آب است، این اثرگذاری در اعمق بسیار بیشتری نسبت به امواج ناشی از باد پدیدار می‌شود. در آبهای کم عمق، اثرات بستر و توپوگرافی در تغییرات مشخصات مؤلفه‌های

نوسانات تراز سطح آبهای آزاد، در اثر نیروهای گرانشی سماوی خورشید، ماه و از سوی دیگر چرخش کره زمین، کشندهٔ شناخته می‌شود. اثر هر یک از عوامل با یک مؤلفهٔ کشندهٔ فاز مشخص بوده که دوره‌ی دارای دوره‌ی تناوب، دامنهٔ نوسان و زمین ثابت ولی دامنهٔ و فاز هر مؤلفه در آبهای عمیق تابع مکان مورد نظر است (Zounemat-Kermani and Bay, 2013).

¹ tidal potential amplitude

روش Bispectral می‌توان وقوع مؤلفه‌های ترکیبی را تحقیق کرد که دامنه‌ی نوسان کوچک آنها در ابعاد خطای طبیعی محاسبات روشن تحلیل هارمونیک است.

به هر حال شدت اندرکنش‌های مؤلفه‌های کشنیدی و تشکیل مؤلفه‌های ترکیبی و اضافه، جزو مشخصات ذاتی کشنیدی هر منطقه و تابع شکل توپوگرافی و تغییرات بستر در آن منطقه است. هدف از انجام این مطالعه، شناسایی مهم‌ترین مؤلفه‌های جز اضافی و ترکیبی حاصل از اندرکنش‌های سه‌گانه تجمعی موج-موج مؤلفه‌های اصلی کشنیدی با استفاده از روش تحلیل Bispectral و بدون استفاده از داده‌های جریان‌سنجی در محدوده‌ی شرق سواحل ایرانی مکران است.

۲. مواد و روش‌ها

١-٢ معرفی، روشن تحلیل Bispectral

به طور کلی اولین اثر مشهود اندرکنش‌های سه‌گانه‌ی موج در محدوده‌ی آب‌های کم عمق، نامتقارن شدن پروفیل موج^۴ است. نامتقارنی پروفیل موج به صورت بلند و تیز شدن تاج، مسطح و کشیده شدن قعر امواج خواهد بود.

Phillips (1960) به شکل نظری ثابت کرد که تئوری موج مرتبه دوم استوکس^۵ حاصل اندرکنش غیرخطی دو قطار موج او لیه است. این نظریه از طریق مشاهدات آزمایشگاهی توسط Smith و Longuet-Higgins (۱۹۶۶) به اثبات رسید. اندرکنش غیرخطی سه تایی عبارت است از انتقال انرژی بین سه همساز^۶ که اعداد موج (k_i) و سرعت زاویه‌ای (ω_i) آنها در رابطه‌های ۱ و ۲ صادق باشد (Armstrong et al., 1962).

$$f_1 \pm f_2 = f_3 \quad , \text{اطه ۱}$$

۲ رابطہ

به طور کلی رابطه‌ی پراکنش خطی (رابطه‌ی ۳) برای دو همساز اولیه حاکم است، اما برای مؤلفه‌ی سوم می‌تواند صادق نباشد.

کشنده از جمله پروفیل امواج کشنده مؤثر هستند. شکل گیری دو پدیده های جز اضافی کشنده^۱ و کشنده ترکیبی^۲ جزو پدیده های کشنده در آبهای کم عمق است. اهمیت شناخت این دو پدیده های کشنده در پیش بینی دقیق تر تراز کشنده است. هرگاه مؤلفه های پدید آید که فرکانس آن برابر با جمع و یا تفاضل دو فرکانس مؤلفه ای اصلی و آب عمیق باشد به آن یک مؤلفه ای کشنده ترکیبی اطلاق شده و اگر فرکانس مؤلفه ای ترکیبی دو برابر فرکانس یک مؤلفه ای اصلی باشد، به آن مؤلفه ای جز اضافی کشنده گفته می شود (Le Provost, 1991). این شرط دقیقاً یکی از ۲ شرط لازم برای شکل گیری اندرکنش های غیر خطی سه تایی موج-موج^۳ برای امواج ناشی از باد است که در محدوده ای آبهای کم عمق ساحلی و پیش از شکست موج شکل می گیرد (Elgar et al., 1995). در خصوص دو پدیده کشنده مذکور، نتایج مطالعه ای Gallo و Vinzon (۲۰۰۵) نشان داد که بر اساس نوع و شدت پدیده کشنده ترکیبی، مصب رودخانه آمازون به ۳ محدوده با رفتار متفاوت کشنده ترکیبی قابل تقسیم- بنده است. همچنین Gómez-Valdés و همکاران (۲۰۰۳) با استفاده از مشاهدات میدانی و اندازه گیری های شدت جریان نشان دادند که در خلیج Ensenada de la Paz در کشور مکزیک، مؤثر ترین کشنده ترکیبی حاصل از اندرکنش دو مؤلفه ای M2 و K1 پدیدار می شود. استفاده از روش استاندارد Bispectral به منظور مطالعه ای پدیده ای اندرکنش های سه گانه امواج آب کم عمق در دو دهه ای اخیر بسیار متداول است (به عنوان مثال Elgar et al., 1995; Eldeberky, 2012). اما بر اساس اطلاعات گردآوری شده توسط نویسنده گان، تاکنون با استفاده از این روش هیچ گونه مطالعه ای در خصوص شناسایی مؤلفه های کشنده اضافی و ترکیبی انجام نشده است. لذا هیچ گونه سابقه ای مطالعاتی در این خصوص یافت نشده است. اهمیت بسیار بالای انجام چنین مطالعه ای با استفاده از روش Bispectral، امکان شناسایی برخی مؤلفه های ترکیبی با دوره های تناوب دقیقاً برابر با مؤلفه های اصلی است. با توجه به تساوی دوره های تناوب این دو گروه مؤلفه، با استفاده از روش متداول کمترین مربعات (هارمونیک) امکان تشخیص وقوع و حضور مؤلفه ای ترکیبی دارای دوره ای تناوب با مؤلفه های ترکیبی با دوره های تناوب از سوی دیگر با استفاده از دارای دوره های ترکیبی با دوره های تناوب از سوی دیگر با استفاده از

⁴ wave asymmetry

5 Stokes

STOKES
⁶ Harmonic

¹ overtide

² compound tide

³ Nonlinear triad interaction

به عبارتی هر گاه مقادیر Bic از $b_{95\%}^2$ بزرگ‌تر باشند، آنگاه به احتمال حداقل 95% مقدار Bic مورد نظر معرف یک اندرکنش واقعی و قابل توجه است. در این رابطه $d.o.f.$ درجه‌ی آزادی تحلیل فوریه و یا Bispectral است. به طور کلی هر تحلیل فوریه دارای درجه آزادی ۲ است. حال اگر تعداد و تکرار دفعات انجام تحلیل‌های فوریه را افزایش داده و از نتایج میانگین‌گیری شود، آنگاه درجه آزادی تحلیل افزایش می‌یابد. نکته‌ی قابل توجهی که باید به آن توجه شود، این است که مشخصات تحلیل Bispectral همانند تحلیل فوریه است و فرکانس همسازهای آن مانند فوریه بر اساس طول مدت زمان داده‌ها تعیین می‌شوند. توجه به این نکته ضروری است که هرگز فرکانس همسازهای فوریه (و یا Bispectral) منطبق بر فرکانس مؤلفه‌های کشنده نیستند، لذا ضروری است با مقایسه‌ی نتایج تحلیل فوریه و تحلیل کمترین مربعات، فرکانس همسازهای متناظر با مؤلفه‌های کشنده تعیین شوند. از آنجایی که در فرکانس‌های متناظر با مؤلفه‌های ترکیبی و اضافی کشنده هیچ منشاء انرژی جز اندرکنش غیرخطی وجود ندارد، انتظار داریم مقادیر Bic مربوط به این مؤلفه‌ها بسیار بزرگ‌تر از $b_{95\%}^2$ و یا حتی نزدیک به ۱ باشد.

در این مطالعه وقوع و حضور مؤلفه‌های ترکیبی و اضافی کشنده حاصل از اندرکنش‌های سه‌گانه تجمعی در محدوده‌ی جغرافیایی نزدیک به سواحل شرقی منطقه‌ی مکران در ۳ ایستگاه در محدوده‌ی آب‌های سرزمینی جمهوری اسلامی ایران با استفاده از روش Bispectral مورد مطالعه قرار گرفت. حال با توجه به محدودیت‌های تحلیل Bispectral که در بالا ذکر شد، لازم است علاوه بر متغیر b^2 فرضیات دیگری در مطالعه لحاظ شوند تا از صحت نتایج اطمینان حاصل شود.

- بدین‌منظور فرضیات اساسی زیر در این مطالعه مدنظر قرار گرفتند.
- ۱- با توجه به فاصله ناچیز ۳ ایستگاه، مؤلفه‌های اصلی کشنده در این ایستگاه‌ها یکسان باشند.
- ۲- اندرکنش‌های قابل توجه باشند که مقدار Bic جفت فرکانس بسیار بزرگ‌تر از سطح معنی‌داری 95% باشد.
- ۳- مقادیر قابل توجه Bic ، در تحلیل‌هایی با درجه آزادی‌های مختلف در یک ایستگاه تکرارپذیر باشند (مشابه مطالعه Sénéchal و همکاران (۲۰۰۲)).
- ۴- فرکانس مؤلفه‌های اندرکنش‌کننده در محدوده‌ی مؤلفه‌های اصلی کشنده باشند.

$$\omega^2 = gk \tanh kd \quad \text{رابطه ۳}$$

در این رابطه g شتاب گرانشی و d عمق آب است. بهترین ابزار به منظور مطالعه‌ی اندرکنش‌های سه‌گانه موج-موج تحلیل Bispectral است. متغیر Bispectrum به عنوان کواریانس مرتبه‌ی دوم تبدیل فوریه به شکل رابطه ۴ تعریف می‌شود (Hasselmann et al., 1963):

$$B(f_1, f_2) = E[X(f_1)X(f_2)X^*(f_1 \pm f_2)] \quad \text{رابطه ۴}$$

که در آن $E[\cdot]$ اید ریاضی، $X(f_i)$ فرم مختلط همساز آم تبدیل فوریه و X^* فرم مزدوج X است. شکل نرمال شده‌ی متغیر Bispectrum با عنوان Bicoherence به شکل رابطه ۵ تعریف می‌شود (Kim and Powers, 1979):

$$b^2(f_1, f_2) = \frac{|B(f_1, f_2)|^2}{E[|X(f_1)X(f_2)|]^2 E[|X(f_1 \pm f_2)|]^2} \quad \text{رابطه ۵}$$

متغیر Bicoherence مقداری بین ۰ تا ۱ است که به ترتیب به معنای حداقل و حداکثر شدت اندرکنش اشاره دارد (از این پس، از عبارت کوتاه Bic به جای متغیر Bicoherence استفاده می‌گردد). این متغیر نشان دهنده‌ی کسری از انرژی موجود در همساز سوم است که در اثر اندرکنش دو همساز اول و دوم به همساز سوم منتقل شده است (Eldeberky, 1996). اگر انتقال انرژی از فرکانس پایین به فرکانس بالاتر باشد (علامت جمع در روابط ۱، ۲، ۴ و ۵)، به آن اندرکنش تجمعی و یا مثبت گفته می‌شود و حاصل اندرکنش یک بالا مؤلفه^۱ است.

نتایج تحلیل Bispectral به شدت نسبت به حضور هرز داده‌ی پس‌زمینه^۲ در داده‌ها و همچنین خطاهای بسیار ناچیز محاسباتی حاصل از گردشدن اعداد، حساس بوده و می‌تواند منجر به نتایج کاذبی شود. لذا به منظور اجتناب از نتایج گمراه کننده، سطح معنی‌داری 95% متغیر Bic به شکل رابطه ۶ تعریف می‌شود (Haubrich, 1965):

$$b_{95\%}^2 = 6/d.o.f. \quad \text{رابطه ۶}$$

¹ super-harmonic
² noise

با توجه به نتیجه‌ی به دست آمده و بزرگی دامنه‌ی نوسان، ۷ مؤلفی SSA، M2، N2، S2، O1.K1 و P1 به عنوان مؤلفه‌های اصلی این منطقه شناسایی شدند که در جدول ۱ با قلم ضخیم‌تر نشان داده شده‌اند.

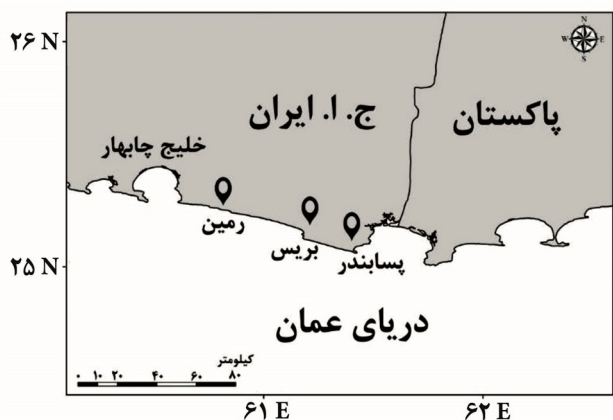
معمولًا در تحلیل Bispectral امواج ناشی از باد، به منظور اطمینان از وقوع اندرکنش‌های غیرخطی درجه آزادی تحلیل‌ها ۲۴ و ۲۵ انتخاب می‌شوند. در صورتی که هدف مطالعه‌ی اندرکنش‌های ضعیفتر باشند، درجه آزادی تحلیل افزایش می‌یابد (2^{n+5}) (Elgar et al., 1995; Elgar and Guza, 1985). از آنجایی که فرکانس همسازهای حاصل از تحلیل فوريه با درجه آزادی‌های ۳۲ و ۶۴ زیرمجموعه فرکانس‌های حاصل از درجه آزادی ۱۶ خواهند بود، لذا در این مرحله، داده‌های کشنده‌ی با درجه آزادی ۱۶ تحلیل شده‌اند. نتایج به دست آمده در شکل ۲، به صورت دامنه‌های نوسان همسازهای فوريه (خاکستری)، نشان داده شده است. همچنین در این شکل علاوه بر دامنه‌ی نوسان مؤلفه‌های فوريه، دامنه‌ی نوسان مؤلفه‌های اصلی کشنده حاصل از تحلیل کمترین مربعات با رنگ سیاه نشان داده شده است. در این نمودار تمامی مؤلفه‌ها و همسازهای حاصل، بر حسب دوره‌ی تناوب از بزرگ به کوچک، از چپ به راست مرتب شده‌اند. از آنجایی که مؤلفه‌های اصلی کشنده و همسازهای فوريه به لحاظ فرکانس هرگز بر یکدیگر منطبق نمی‌شوند، انرژی مؤلفه‌های کشنده بین همسازهای فوريه که در مجاورت آنها قرار دارند، توزیع می‌شود. لذا رعایت شاخص محتوای انرژی به منظور اطمینان از صحت نتایج، از اهمیت ویژه‌ای برخوردار است (Mahmoudof et al., 2012). از آنجایی که مقدار متغیر F برای منطقه‌ی مورد مطالعه برابر با $0/56^0$ است، لذا رژیم کشنده از نوع آمیخته و متمایل به نیم روزانه است. نتایج در برخی مطالعات میدانی پیشین نشان داده‌اند که شدت وقوع پدیده‌ی کشنده ترکیبی برای مناطقی با رژیم کشنده متمایل به نیم روزانه بیشتر است (Le Provost, 1991; Sinha and Pingree, 1997). این در حالی است که بر اساس تئوری موج مرتبه دوم انتظار داریم با افزایش طول موج، پتانسیل وقوع اندرکنش‌های غیرخطی موج افزایش یابد (Longuet-Higgins and Smith, 1966).

به منظور تعیین رژیم کشنده منطقه از معیار (Dietrich 1963) بر اساس رابطه‌ی ۷ استفاده گردید.

$$F = \frac{K_1 + O_1}{M_2 + S_2} \quad \text{رابطه ۷}$$

۲-۲ مشخصات داده‌های میدانی

داده‌های نوسانات کشنده در ۳ ایستگاه در نزدیکی سواحل بریس، پسابندر و رمین همگی در شرق خلیج چابهار مورد مطالعه و ارزیابی قرار گرفته‌اند (شکل ۱). مدت زمان تقریبی داده‌های پیوسته مربوط به این ۳ ایستگاه که در این مطالعه بررسی شدند به ترتیب عبارتند از ۷، ۵ و ۴ ماه که با فواصل زمانی ۱۰ دقیقه توسط کشنده نگار^۱ به ثبت رسیدند. عمق آب در این ۳ ایستگاه مشابه یکدیگر و به طور تقریبی برابر با ۵ متر بود. با توجه به نقشه‌های عمق‌سنگی‌های به عمل آمده، شبیب بستر صخره‌ای در این ۳ منطقه مشابه و نزدیک به ۱٪ بود. این داده‌ها بخشی از داده‌های حاصل از پروژه پایش سواحل مکران بوده که توسط اداره‌ی کل سواحل و بنادر سازمان بنادر و دریانوردی در اختیار نویسنده‌گان قرار گرفت.

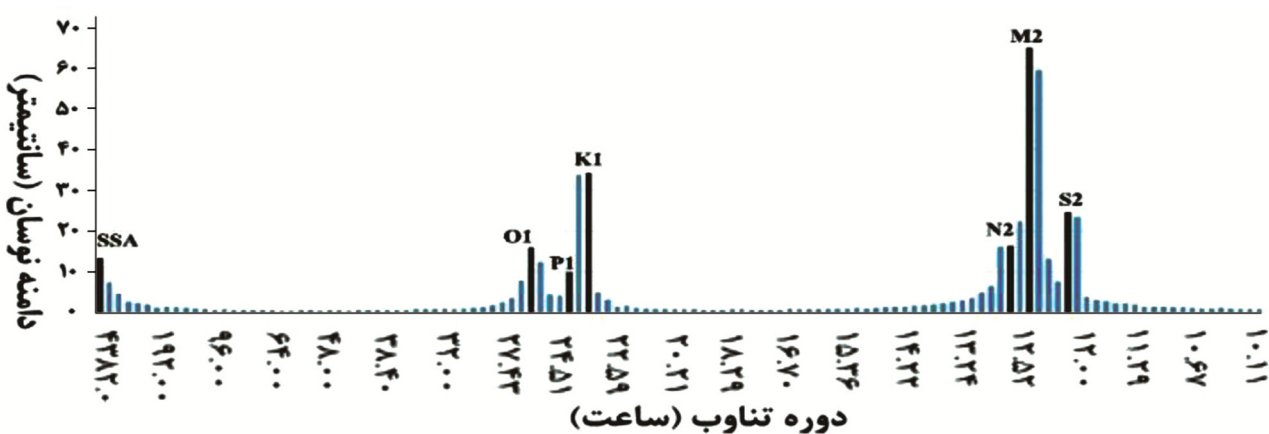


شکل ۱: محدوده‌ی جغرافیایی ایستگاه‌های مورد مطالعه

۳. نتایج و بحث

با توجه به طول مدت زمان بیشتر داده‌های موجود در ایستگاه بریس و همچنین فرض ثابت بودن مؤلفه‌های اصلی کشنده در این ۳ ایستگاه، از داده‌های این ایستگاه به منظور تعیین مؤلفه‌های اصلی کشنده استفاده گردید. بدین‌منظور با در نظر گرفتن الیت مؤلفه‌های کشنده بر اساس ضریب دامنه‌ی بالقوه کشنده و همچنین معیار رایلی و با استفاده از روش تحلیل کمترین مربعات، ۳۴ مؤلفه‌ی کشنده انتخاب و در تحلیل لحاظ شدند (Foreman, 2004). نتیجه‌ی حاصل از آن در جدول ۱ آمده است.

⁷ tide gauge



شکل ۲: دامنه نوسان مؤلفه‌های اصلی کشنیدی (سیاه) و همسازهای فوریه (خاکستری) با ۱۶ درجه آزادی

جدول ۱: تعیین مشخصات مؤلفه‌های اصلی کشنیدی در منطقه مورد مطالعه

مؤلفه	SSA	MSM	MM	MSF	MF	M2	S2	N2	ETA2	EPS2	MU2	L2	MKS2	K2	MSN2	K1	O1	
دامنه (cm)	۱۳,۲۴	۲,۰۳	۰,۸۶	۰,۸۵	۱,۳۷	۶۴,۸۲	۲۴,۴۴	۱۶,۲۳	۰,۹۱	۰,۵۲	۱,۴۵	۱,۲۰	۶,۴۵	۲,۹۱	۰,۵۱	۳۴,۱۶	۱۵,۷۹	
مؤلفه	O01	2Q1	Q1	NO1	J1	UPS1	ALP1	TAU1	BET1	P1	PHI1	SO1	M3	MK3	MO3	SK3	SO3	
دامنه (cm)	۱,۰۶	۰,۵۶	۰,۵۶	۳,۲۷	۲۶۰	۲,۴۳	۰,۲۷	۰,۱۹	۱,۱۵	۰,۱۲	۹,۶۸	۲,۱۸	۰,۴۹	۰,۸۱	۰,۰۹	۰,۱۵	۰,۷۶	۰,۱۷

مورد نظر در محدوده‌ی فرکانسی مؤلفه‌های اصلی (ساعت/چرخه $f_i \leq 0/1$) در شکل ۳ نشان داده شده‌اند. همان‌طور که در شکل‌های ۳ الف تا ۳ ج مشاهده می‌گردد، شدیدترین اندرکنش‌های سه‌گانه تجمعی مربوط به فرکانس‌های $0/۰۴۱۷$ و $0/۰۳۸۲$ است که مقدار متوسط Bic آن در هر ۳ درجه آزادی، حدوداً برابر $0/۹$ است و اختلاف بسیار زیادی با سطح $0/۹۵$ معنی‌داری هر ۳ درجه آزادی اعمال شده دارد. مقادیر راهنمای نمودارها از سطح $0/۹۵$ ٪ معنی‌داری به بالا برای هر درجه آزادی تنظیم شده است. با استفاده از شکل ۲ می‌توان دریافت که این دو فرکانس متناظر با مؤلفه‌های $K1$ و $O1$ است.

در این مطالعه از فهرست استاندارد (2017) TWCWG به منظور نام‌گذاری مؤلفه‌های ترکیبی و اضافی کشنیدی استفاده شد. لذا بر این اساس مهم‌ترین مؤلفه‌ی ترکیبی در این ایستگاه $KO2$ است. همچنین شدت اندرکنش‌های جفت مؤلفه‌های ($K1, P1$) و ($P1, O1$) در مرتبه‌های بعدی و با مقادیر Bic نزدیک به $0/۹$ قرار دارند. پس از این جفت مؤلفه‌ها، شدت اندرکنش‌های ($M2, N2$), ($M2, S2$) و خود اندرکنشی مؤلفه‌های $M2$ و $S2$ از مؤلفه‌های نیم‌روزانه با بزرگی تقریبی متغیر Bic نزدیک به $0/۷$ قابل توجه هستند. بنابراین در این ایستگاه مؤلفه‌های ترکیبی $KO2$, $KP2$, $KO2$, $MN4$ و $MS4$ و $MN4$ و $OP2$ هستند.

به منظور تعیین شدت اندرکنش‌های غیرخطی مؤلفه‌های اصلی کشنیدی در منطقه مورد مطالعه، داده‌های کشنیدی در هر ۳ ایستگاه با استفاده از روش تحلیل Bispectral و با ۳ درجه‌ی آزادی $16, 32$ و 64 تحلیل شدند. به عبارت دیگر کل داده‌های کشنیدی در هر ایستگاه را به 8 و 16 و 32 دسته داده با 50% هم‌پوشانی از بالادست و پایین‌دست تقسیم شدند. سطح 95% معنی‌داری متغیر Bic برای این ۳ درجه آزادی به ترتیب برابر با $0/375$ و $0/1875$ و $0/0937$ بود. شرایط تحلیل Bispectral به صورت خلاصه در جدول ۲ ارایه شده است.

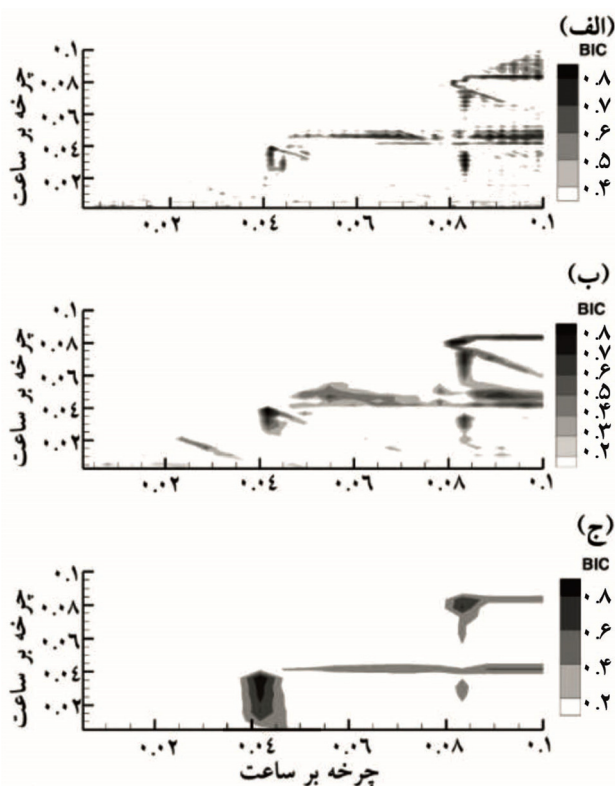
جدول ۲: شرایط تحلیل Bispectral داده‌های کشنیدی در ۳ ایستگاه مورد مطالعه

درجۀ آزادی	تعداد بلوک‌های داده‌ای	$b^2_{95\%}$
۱۶	۸	$0/375$
۳۲	۱۶	$0/1875$
۶۴	۳۲	$0/0937$

از آنجایی که تحلیل Bispectral براساس فرکانس همسازهای فوریه انجام می‌شود، لذا تفسیر نتایج این تحلیل، ارتباط و تعمیم دادن نتایج آن به مؤلفه‌های اصلی کشنیدی از اهمیت ویژه‌ای برخوردار است. این فرآیند به کمک شکل ۲ انجام گرفت.

به عنوان مثال نتایج تحلیل Bispectral داده‌های کشنیدی در ایستگاه بریس برای اندرکنش‌های تجمعی با ۳ درجه آزادی

بروز این تفاوت را می‌توان مربوط به تغییرات در شکل بستر و شیب در آبهای دور از ساحل دانست.

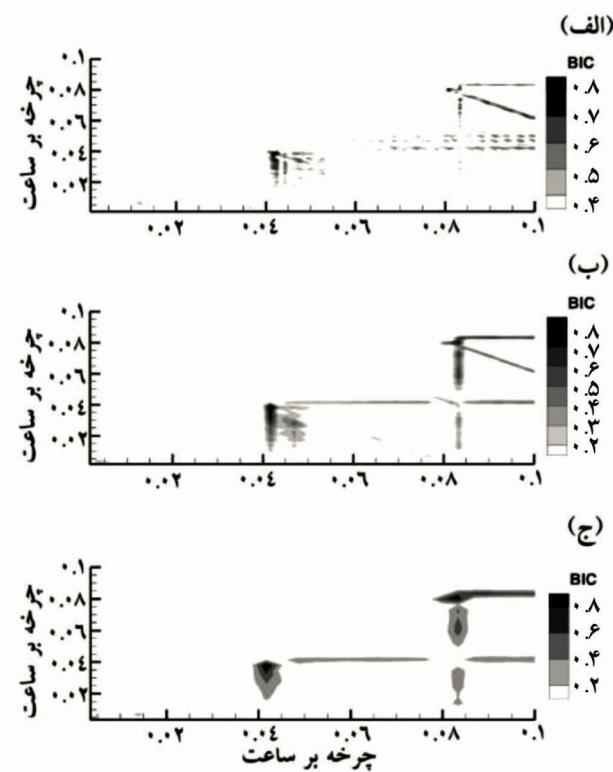


شکل ۴: اندرکنش‌های تجمعی در ایستگاه پس‌باند برای درجه‌های آزادی (الف) ۶۴، ب) ۳۲، ج)

نتایج مربوط به اندرکنش‌های تجمعی مؤلفه‌های کشنندی در ایستگاه رمین در شکل ۵ آمده است. همان‌گونه که در این شکل مشاهده می‌شود، شدیدترین اندرکنش‌های تجمعی در این ایستگاه به ترتیب مربوط به جفت مؤلفه‌های (O1,P1) و (K1,O1) با مقادیر متوسط Bic حدود ۰/۹۵ است و پس از آن جفت مؤلفه‌های (M2, S2) اندرکنش قابل توجهی با مقدار متوسط Bic نزدیک به ۰/۸ از خود نشان داده‌اند. بنابراین در این ایستگاه مهم‌ترین مؤلفه‌های ترکیبی KO2، OP2 و MS4 هستند. در این ایستگاه، مؤلفه‌ی جز اضافی شاخصی دیده نمی‌شود.

با توجه به نتایج به دست آمده به طور کلی می‌توان نتیجه‌گیری نمود که در منطقه‌ی مورد مطالعه شدیدترین اندرکنش‌های تجمعی مربوط به ۳ مؤلفه‌ی روزانه‌ی O1, K1 و P1 با مقادیر متوسط Bic حدود ۰/۹ است. هر چند که شدت اندرکنش‌های تجمعی مؤلفه‌های نیم روزانه‌ی M2، S2، با مقادیر متوسط Bic حدود ۰/۷ کاملاً شدید و قابل توجه ارزیابی می‌شود.

توجه هستند. اما نکته‌ی قابل توجه در نتایج، بروز مقادیر قابل توجه Bic است که به ظاهر مربوط به اندرکنش‌های غیرخطی بین مؤلفه‌های اصلی کشنندی با دامنه‌ی وسیعی از فرکانس‌هایی است که قادر انرژی قابل توجهی بوده و هرگز جزو مؤلفه‌های اصلی کشنندی نیستند.



شکل ۵: اندرکنش‌های تجمعی در ایستگاه بریس برای درجه‌های آزادی (الف) ۶۴، ب) ۳۲، ج)

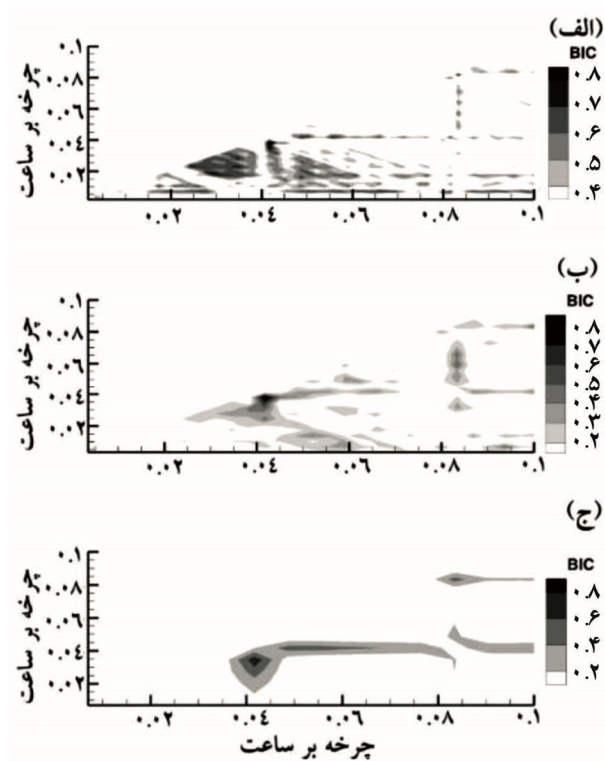
این نوع رفتار ریشه در حساسیت نتایج تحلیل Bispectral به خطاهای ناچیز عددی دارد، موردنی که پیش از این در بخش ۲ به آن اشاره شد. همان‌گونه که مشخص است رفتار این مقادیر برای درجه آزادی‌های مختلف متفاوت بوده و از آنجایی که در دامنه‌ی فرکانس‌های مؤلفه‌های اصلی نیستند، لذا بر اساس فرضیات مطالعه از آن‌ها صرف نظر می‌شود. در ایستگاه پس‌باند شرایط کمی با ایستگاه بریس متفاوت است. در این ایستگاه شدیدترین اندرکنش‌های تجمعی به ترتیب مربوط به خود اندرکنشی مؤلفه‌ی S2، (K1,O1)، (O1,P1) با مقادیر متوسط Bic حدود ۰/۹ و پس از آن‌ها (M2,S2) با مقدار متوسط Bic حدود ۰/۷۵ قرار دارد (شکل ۵). بنابراین مهم‌ترین مؤلفه‌های کشنندی ترکیبی و اضافی در این ایستگاه MS4، OP2، KO2 و S4 است. مهم‌ترین عامل در

آب کم عمق KO2، KP2، OP2، MS4 و MN4 جزو مهم‌ترین مؤلفه‌های ترکیبی منطقه‌ی مورد مطالعه هستند. همچنین با استفاده از روش به کار گرفته شده، مؤلفه‌های کشندي جز اضافي M4 و قابل تشخيص هستند. شایان توجه است مؤلفه‌ی KO2 در هر ۳ ایستگاه به عنوان مهم‌ترین مؤلفه‌ی ترکیبی شناسایی شده است، در حالی که به دلیل مساوی بودن دوره‌ی تناوب آن با مؤلفه اصلی M2، با استفاده از روش متداول هارمونیک (کم‌ترین مربعات) به هیچ عنوان قابل تشخيص و شناسایی نیست.

۴. نتیجه‌گیری

در این مطالعه، مؤلفه‌های کشندي ترکیبی و جز اضافه حاصل از اندرکنش‌های غیر خطی سه‌تایی موج-موج تجمعی مؤلفه‌های اصلی کشندي در شرق سواحل ایرانی مکران با استفاده از روش تحلیل Bispectral (روش استاندارد مطالعه اندرکنش‌های غیرخطی امواج ناشی از باد) مورد مطالعه و شناسایی قرار گرفت. طول مدت زمان داده‌های کشندي در ایستگاه‌های بریس، پسابندر و رمین به ترتیب برابر با ۷، ۵ و ۴ ماه بود. با انجام تقسیم‌بندی داده‌های کشندي به بخش‌های کوچک‌تر و با وجود همپوشانی ۵۰٪ از بالا و پایین دست، Bispectral درجه‌های آزادی ۱۶، ۳۲ و ۶۴ در تحلیل فوریه و حاصل شد. ابتدا با استفاده از تحلیل کمترین مربعات و طول مدت زمان داده‌های موجود در ایستگاه بریس و بر اساس معیار رایلی و الیوت‌بندی دامنه‌ی بالقوه مؤلفه‌های اصلی کشندي در منطقه‌ی مورد نظر شناسایی شدند. سپس با مقایسه‌ی نتایج مربوط به تحلیل کمترین مربعات و فوریه، فرکانس همسازهای فوریه که متناظر با مؤلفه‌های کشندي هستند، تعیین شدند. با انجام تحلیل Bispectral و لحاظ نمودن مقادیر بسیار بزرگ Bicoherence که در هر ۳ درجه‌ی آزادی تکرار شده و در محدوده‌ی فرکانسی مؤلفه‌های اصلی کشندي بودند، مشخص شد که مهم‌ترین مؤلفه‌های ترکیبی حاصل از اندرکنش مؤلفه‌های روزانه هستند. همچنین شاخص‌ترین مؤلفه‌های کشندي ترکیبی در منطقه‌ی مورد مطالعه KO2، KP2، OP2، MS4 و MN4 هستند.

در مطالعه‌ی حاضر با استفاده از روش مؤلفه‌ی Bispectral ترکیبی KO2 در تمامی ایستگاه‌ها به عنوان یکی از مهم‌ترین مؤلفه‌های ترکیبی شناسایی شد. در حالی که به دلیل برابر بودن دوره‌ی تناوب آن با مؤلفه‌ی اصلی M2، این مؤلفه هرگز با استفاده از روش کمترین مربعات قابل شناسایی نیست. همچنین در منطقه‌ی مورد



شکل ۵: اندرکنش‌های تجمعی در ایستگاه رمین برای درجه‌های آزادی (الف) ۱۶، (ب) ۳۲، (ج) ۶۴

این اختلاف در شدت اندرکنش مؤلفه‌های روزانه و نیم روزانه دقیقاً با ویژگی ذاتی پدیده‌ی اندرکنش غیرخطی سازگار است؛ زیرا در حالت کلی و شرایط تقریباً برابر انتظار می‌رود اندرکنش سه‌تایی بین امواج با طول موج بیشتر (*kd* کوچک‌تر)، شدیدتر از اندرکنش امواج با طول موج کوتاه‌تر، حاصل شود (Mahmoudof, et al., 2016; Young and Eldeberky 1998; Elgar and Guza, 1985 (دامنه‌ی نوسان) و اهمیت مؤلفه‌های روزانه و میل رژیم کشندي به سمت روزانه، شاهد افزایش انرژی و یا احتمال وقوع مؤلفه‌های ترکیبی و جز اضافی کشندي باشیم. هر چند که پیش از این برخی مطالعات که به آن‌ها اشاره شد (Le Provost, 1991; Sinha and Pingree, 1997) نموده‌اند. البته لازم به ذکر است که در مطالعه‌ی حاضر کمبود طول مدت زمان داده‌های کشندي جزو محدودیت‌های نسبی محسوب می‌شود، چرا که تفکیک اثر اندرکنشی مؤلفه‌های K1 و P1 در درجه‌های آزادی بالاتر مستلزم دستلزم دسترسی به داده‌های کشندي با طول بیشتر و حصول تعداد بیشتر همسازهای فوریه بین دو مؤلفه‌ی مذکور است. در هر صورت مؤلفه‌های کشندي

Ensenada de la Paz lagoon, Baja California Sur, Mexico. *Geofisica Internacional*, 42(4): 623-634.

Hasselmann, K.; Munk, W.; MacDonald, G., 1963. Bispectra of ocean waves. *Time Series Analysis*. Wiley, New York, 125-139.

Haubrich, R.A., 1965. Earth noise, 5 to 500 millicycles per second: 1. Spectral stationarity, normality, and nonlinearity. *Journal of Geophysical Research*, 70: 1415-1427.

Kim, Y.C.; Powers, E.J., 1979. Digital bispectral analysis and its applications to nonlinear wave interactions. *Plasma Science, IEEE Transactions on Plasma Science*, PS7, 120-131.

Le Provost, C., 1991. Generation of over tides and compound tides. In: Parker BB, editor. *Tidal hydrodynamics*. John Wiley & Sons, 269-295.

Longuet-Higgins, M.; Smith, N., 1966. An experiment on third-order resonant wave interactions. *Journal of Fluid Mechanics*, 25: 417-435.

Mahmoudof, M.; Banijamali, B.; Chegini, V., 2012. Least square analysis of noise-free tides using energy conservation and relative concentration of periods criteria. *Journal of Persian Gulf*, 3(8): 13-24.

Mahmoudof, S.M.; Badiei, P.; Siadatmousavi, S.M.; Chegini, V., 2016. Observing and estimating of intensive triad interaction occurrence in very shallow water. *Continental Shelf Research*, 122: 68-76.

Phillips, O., 1960. On the dynamics of unsteady gravity waves of finite amplitude Part 1. The elementary interactions. *Journal of Fluid Mechanics*, 9: 193-217.

Sénéchal, N.; Bonneton, P.; Dupuis, H., 2002. Field experiment on secondary wave generation on a barred beach and the consequent evolution of energy dissipation on the beach face. *Coastal Engineering*, 46: 233-247.

Sinha, B.; Pingree, R.D., 1997. The principal lunar semidiurnal tide and its harmonics: baseline solutions for M2 and M4 constituents on the North-West European Continental Shelf Research, 17: 1321-1365.

مطالعه مؤلفه‌های M4 و S4 به عنوان مهم‌ترین جز اضافی کشنده شناسایی شدند.

۵. سپاسگزاری

نویسنده‌گان مقاله بر خود لازم می‌دانند از اداره‌ی کل سواحل و بنادر سازمان بنادر و دریانوردی و جناب آقای مهندس الهیار به دلیل حمایت‌های به عمل آمده از این مطالعه، تقدیر و تشکر نمایند.

منابع

- Armstrong, J.; Bloembergen, N.; Ducuing, J.; Pershan, P., 1962. Interactions between light waves in a nonlinear dielectric. *Physical Review*, 127: 1918-1939.
- Dietrich, G., 1963. *General oceanography*. First edition Interscience Publishers. New York. 78-82.
- Eldeberky, Y., 1996. Nonlinear transformation of wave spectra in the nearshore zone. Ph.D. Thesis. Delft University of Technology, Delft, Netherland.
- Eldeberky, Y., 2012. Nonlinear effects in gravity waves propagating in shallow water. *Coastal Engineering Journal*, 54 (4): 1250024-1:21.
- Elgar, S.; Guza, R., 1985. Observations of bispectra of shoaling surface gravity waves. *Journal of Fluid Mechanics*, 161: 425-448.
- Elgar, S.; Herbers, T.; Chandran, V.; Guza, R., 1995. Higher-order spectral analysis of nonlinear ocean surface gravity waves. *Journal of Geophysical Research: Oceans* (1978–2012), 100: 4977-4983.
- Foreman, M.G.G., 2004. Revised manual for tidal heights analysis and prediction. Institute of Ocean Sciences. Patricia Bay, Sidney, B.C.
- Gallo, M.N.; Vinzon, S.B., 2005. Generation of over tides and compound tides in Amazon estuary. *Ocean Dynamics*, 55: 441-448.
- Gómez-Valdés, J.; Delgado, J.A.; Dworak, J.A., 2003. Over tides, compound tides, and tidal-residual current in

- Zounemat-Kermani, M.; Bay, Y., 2013. Efficiency analysis of artificial neural networks and multiple linear regression methods for tides prediction. *Journal of Oceanography*, 4: 1-10. (In Persian)
- Tide, Water Level and Current Working Group (TWCWG), 2017. Standard list of Tidal Constituents. IHO.
- Young, I.; Eldeberky, Y., 1998. Observations of triad coupling of finite depth wind waves. *Coastal Engineering*, 33: 137-154.